

Jurnal Rekayasa Infastruktur

Hexagon

Vol. 3 , No. 2 , Tahun.....2018.

ISSN - Print:
2528 - 2379

ISSN Online
2540-8135



Teknik Sipil
UM Jember

Alamat Redaksi :

Jurusan Teknik Sipil
Fakultas Teknik Universitas Muhammadiyah Jember
Jl. Karimata 49 Jember. Telp/Fax : (0331) 336728/337957

Table of Contents

EVALUASI KAPASITAS STRUKTUR GEDUNG MEOTEL BY DAFAM JEMBER DENGAN METODE PUSHOVER ANALYSIS	PDF
 DOI : 10.32528/hgn.v3i2.2911  Abstract views : 82 times	
 Ajeng Safira Kusuma Warahani, Puja Priyana, Adhitya Surya Manggala	
STUDI PERKUATAN GEOTEXTILE PADA LERENG DENGAN VARIASI KEMIRINGAN DAN JARAK PONDASI DANGKAL MELALUI PEMODELAN DI LABORATORIUM	PDF
 DOI : 10.32528/hgn.v3i2.2912  Abstract views : 78 times	
 Edo Caraka Yodha, Arief Alhudien, Puja Priyana	
STUDI ALTERNATIF KONSTRUKSI JALAN MENGGUNAKAN KONSTRUKSI TIMBUNAN DENGAN TANAH DASAR DIPERBAIKI MENGGUNAKAN KOMBINASI PRELOADING DAN PREFABRICATED VERTICAL DRAIN	PDF
 DOI : 10.32528/hgn.v3i2.2913  Abstract views : 131 times	
 Khafidatul Rosidatul Jannah, Arief Alhudien, Suhartimah Suhartimah	
PERBANDINGAN ESTIMASI ANGGARAN BIAYA DAN SCHEDULE PROYEK PEMBANGUNAN RUMAH SAKIT AL HUDA BANYUWANGI MENGGUNAKAN METODE SNI DAN METODE BOW	PDF
 DOI : 10.32528/hgn.v3i2.2914  Abstract views : 141 times	
 Muhammad Rizki Setio Budi, Suhartimah Suhartimah, Adhitya Surya Manggala	
STUDI KEKUATAN STABILITAS ABUTMENT PADA JALAN TOL PANDAAN – MALANG STA 15 + 916 TERHADAP PENGARUH GEMPA SESUAI DENGAN SNI 2833 – 2016	PDF
 DOI : 10.32528/hgn.v3i2.2915  Abstract views : 80 times	
 Liliana Aya Heragata, Puja Priyana, Suhartimah Suhartimah	
KAJIAN SEDIMENTASI DI SUNGAI SAMPEAN BONDOWOSO MENGGUNAKAN PROGRAM HEC-RAS VERSI 4.1	PDF
 DOI : 10.32528/hgn.v3i2.2916  Abstract views : 97 times	
 Khafid hwahyudi, Nuar Salim, Taufan Abadi	
STUDI PERKUATAN TANAH DASAR DI BAWAH EMBANKMENT MENGGUNAKAN METODE KOMBINASI PRELOADING DAN PVD	PDF
 DOI : 10.32528/hgn.v3i2.2917  Abstract views : 94 times	
 Dedy Dana Fahrur Ruzal, Arief Alhudien, Adhitya Surya Manggala	
ANALISA DESAIN FLY OVER DAN SLAB ON FILE PADA PERENCANAAN JALAN LINGKAR BARAT KOTA SURABAYA	PDF
 DOI : 10.32528/hgn.v3i2.3215  Abstract views : 69 times	
 Ilanka Cahya Dewi, Puja Priyana	
STUDI VARIASI KOMPOSISI BAHAN DASAR BRIKET DARI SAMPAH ORGANIK PASAR	PDF
 DOI : 10.32528/hgn.v3i2.3410  Abstract views : 52 times	
 Rusdiana Setyaningtyas, Anis Arliyani	

Editorial Team

Editor In Chief (Ketua Penyuting)

Mr Rofi Budi Hamduwibawa, Universitas Muhammadiyah Jember

Editor (Penyuting)

Senki Desta Galuh, Universitas Muhammadiyah Jember

Latifa Mirzatika Al – Rosyid

Hilfi Harisan Ahmad, Universitas Muhammadiyah Jember, Indonesia

Program Studi Teknik Sipil Fakultas Teknik

Universitas Muhammadiyah Jember

Alamat: Jl. Karimata No. 49 Jember-Jawa Timur-Indonesia 68124

Phone & Fax: (0331)336728 | 337957

Email: hexagon@unmuhjember.ac.id

STUDI KEKUATAN STABILITAS ABUTMENT PADA JALAN TOL PANDAAN – MALANG STA 15 + 916 TERHADAP PENGARUH GEMPA SESUAI DENGAN SNI 2833 – 2016

(Studi Kasus: Jalan Tol Pandaan – Malang Sta 15 + 916, Pasuruan – Jawa Timur)

Lilonna Ayu Heragita¹, Pujo Priyono², Suhartinah³

Program Studi Teknik Sipil, Fakultas Teknik, Universitas Muhammadiyah Jember^{1,2,3}
Jl. Karimata 49, Jember 68121, Indonesia
email : heragita484@gmail.com

Abstract

Structurally the bridges are separated into upper buildings and lower buildings. According to its function, the building under the bridge supports and continues the load from the building over the bridge to a strong and stable / solid soil layer. The building under the bridge consists of abutments and foundations, where abutments can also function as a bridge foundation. The method used to analyze the stability of the abutment in this study is the approach method based on SNI 2833 - 2016 earthquake bridge. Then the stability is analyzed with the condition that it must meet the SF safety factor values Slide punch > Pu, SF Bolster > 2.5, SF carrying capacity borepile Pijin > Pmaks. From the analysis of the stability of strength that has been carried out in this case study states that the pons shear analysis value leaves a percentage ratio of 46.82 %, the value of the x direction bolster stability leaves a percentage ratio of 7.41 %, and the carrying capacity of bore pile leaves a percentage ratio amounting to 34.45 %.

Keywords: Stability against punch slides, x direction bolsters, and bearing strength bore pile.

Abstrak

Secara struktural jembatan dipisahkan menjadi bangunan atas dan bangunan bawah. Sesuai fungsinya, bangunan bawah jembatan menopang dan meneruskan beban dari bangunan atas jembatan ke lapisan tanah yang kuat dan stabil/solid. Bangunan bawah jembatan terdiri dari abutmen dan pondasi, dimana abutmen bisa juga berfungsi sebagai pondasi jembatan. Metode yang digunakan untuk analisis kestabilan abutmen pada penelitian ini adalah metode pendekatan berdasarkan SNI 2833 – 2016 gempa jembatan. Kemudian dianalisa kestabilannya dengan syarat harus memenuhi nilai faktor keamanan SF Geser pons > Pu, SF Guling > 2,5, SF daya dukung borepile Pijin > Pmaks. Dari analisis kekuatan stabilitas yang telah dilakukan pada studi kasus ini menyatakan bahwa nilai analisis geser pons menyisakan ratio presentase sebesar 46,82 %, nilai stabilitas guling arah x menyisakan ratio presentase sebesar 7,41 %, dan nilai kekuatan daya dukung bore pile menyisakan ratio presentase sebesar 34,45 %.

Kata kunci: Kestabilan terhadap geser pons, guling arah x, dan kekuatan bore pile.

PENDAHULUAN

1. Latar Belakang

Jembatan merupakan struktur yang sangat penting untuk menghubungkan sungai, selat, lembah, laut, dan lainnya. Sehingga dapat memperlancar transportasi darat dimana dengan adanya jembatan dapat mempersingkat waktu perjalanan.

Untuk menunjang ekonomi masyarakat secara keseluruhan dan berkesinambungan, sangat perlu adanya sarana dan prasarana

infrastruktur diantaranya meningkatkan layanan jalan guna memperlancar laju pertumbuhan ekonomi di semua sektor. Dalam upaya mendukung kemudahan akses, pemerintah merencanakan pembangunan jalan tol Pandaan – Malang.

Terkait kemampuan jembatan pada stabilitas kekuatan abutment menerima beban, diantaranya adalah beban gempa serta dipengaruhi 3 lempengan tektonik yang terletak di Indonesia. Mengenai pengaruh beban gempa

pada stabilitas kekuatan abutment menurut SNI 2833-2013 harus diperhitungkan dan diproyeksikan dalam perencanaan struktur bawah jembatan.

Maka dalam kesempatan Tugas Akhir kali ini, Penulis tertarik mengambil topik permasalahan tentang perencanaan jembatan yakni dengan mengambil judul “Studi Kekuatan Stabilitas Abutment Pada Jalan Tol Pandaan – Malang Sta 15 + 916 Terhadap Pengaruh Gempa Sesuai dengan SNI 2833-2016”.

2. Rumusan Masalah

Dari uraian diatas, masalah yang akan dibahas dalam Tugas Akhir ini adalah sebagai berikut:

1. Bagaimana pengaruh stabilitas geser dan guling terhadap konstruksi abutment STA 15 + 916 di jalan tol Pandaan – Malang?
2. Berapa besar kekuatan bore pile menahan beban kekuatan akibat struktur jembatan pada STA 15 + 916 di jalan tol Pandaan Malang?

3. Tujuan Penelitian

1. Untuk mengetahui perhitungan stabilitas geser dan guling pada abutment.
2. Untuk mengetahui kekuatan bore pile yang menahan beban keseluruhan akibat beban struktur jembatan.

4. Batasan Masalah

Beberapa batasan masalah yang didefinisikan dalam pembuatan Tugas Akhir antara lain:

1. Aspek yang ditinjau adalah jembatan Jalan Tol Pandaan – Malang STA 15 + 916 , meliputi aspek konstruksi jembatan, perhitungan struktur jembatan, gambar konstruksi.
2. Perancangan pada struktur abutment jembatan Jalan Tol Pandaan – Malang STA 15 + 916 serta kombinasi yang didalamnya terdapat faktor beban gempa.
3. Tidak menghitung dan menganalisis sambungan dan manajemen proyek

5. Manfaat

1. Untuk memberikan manfaat dan informasi secara lebih detail tentang kekuatan stabilitas geser dan guling pada struktur bawah jembatan.
2. Dari hasil perhitungan analisis struktur bawah jembatan Jalan Tol Pandaan – Malang STA 15 + 916, maka diharapkan dapat mengetahui pengaruh stabilitas geser dan guling pada abutment serta kekuatan borepile.

METODE PENELITIAN

1. Definisi Jembatan

Jembatan ialah suatu konstruksi yang gunanya untuk meneruskan jalan melalui suatu rintangan yang berada lebih rendah. Rintangan ini biasanya jalan lain (jalan air atau jalan lalu lintas). Jembatan yang merupakan bagian dari jalan, sangat diperlukan dalam sistem jaringan transportasi darat yang akan menunjang pembangunan pada daerah tersebut (Struyk, 1984).

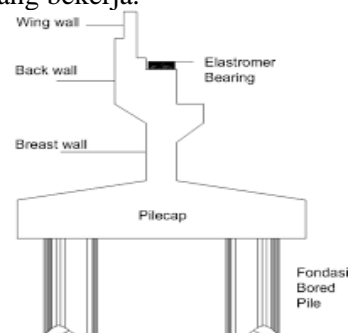
Secara garis besar konstruksi jembatan terdiri dari dua komponen utama yaitu bangunan atas (*super structure/upper structure*) dan bangunan bawah (*sub structure*). Bangunan atas merupakan bagian jembatan yang menerima langsung beban dari orang dan kendaraan yang melewatinya. Bangunan atas terdiri dari komponen utama yaitu lantai jembatan, rangka utama, gelagar melintang, gelagar memanjang, diafragma, pertambatan dan perletakan/andas. Selain itu juga terdapat komponen penunjang pada bangunan atas yaitu trotoir, perlengkapan sambungan, *ralling*, pagar jembatan, drainase, penerangan dan parapet. Bangunan bawah merupakan bagian jembatan yang menerima beban dari bangunan atas ditambah tekanan tanah dan gaya tumbukan dari perlintasan di bawah jembatan. Bangunan bawah meliputi pilar jembatan (*pier*), pangkal jembatan (*abutment*) dan pondasi.

Secara umum konstruksi abutment terdiri dari beberapa bagian, aapun bagian-bagian konstruksi abutment terdiri dari:

1. Pile Cap (Pelat Dasar) terdiri dari tumpuan muka dan tumpuan belakang, pelat dasr ini juga disebut footing slab. Apabila menggunakan

pondasi tiang pancang (Spun Pile) ataupun pondasi sumuran (Bore Pile), maka pelat dasar ini berfungsi untuk mengikat dan menyatukan antara abutment dengan tiang (pile).

2. Breast Wall
Disebut juga tembok longitudinal, dimana konstruksi ini harus mampu menerima gaya horizontal akibat tekanan tanah aktif dan tekanan tanah pasif, gaya gempa, serta menyeluruh gaya vertikal yang bekerja.
3. Tempat Sepatu
konstruksi tempat perletakan dari gelagar memanjang maupun melintang.
4. Perletakan (Elastomeric bearing pad)
bantalan yang berfungsi untuk mengurangi getaran yang terjadi pada gelagar akibat beban dan kendaraan yang bergerak. Getaran tersebut kemudian diteruskan ke dinding abutment untuk kemudian diteruskan ke pondasi.
5. Back Wall
konstruksi dinding yang berfungsi sebagai pembatas antara gelagar dengan tanah belakang abutment. Selain itu juga, back wall berfungsi sebagai penahan gelagar agar tidak bergeser ke arah belakang abutment.
6. Wing Wall
berfungsi untuk melindungi bagian belakang abutment dari tekanan tanah yang bekerja.



Gambar 1. Bagian-bagian Pada Abutment

2. Kriteria Perencanaan Abutment

Pada perencanaan abutment jembatan ini akan diperhitungkan banyak gaya dan beban yang bekerja pada abutment tersebut.

Gaya-gaya tersebut dapat digambarkan

sebagai berikut:

3. Gaya-gaya yang bekerja pada abutment

- Gaya akibat beban mati
- Gaya Horizontal akibat gesekan tumpuan bergerak (Hg) Koefisien gesekan = 0,25 (PPPJJR / 1987 pasal 2.6.2)

H gesekan = koefisien gesekan Rvd

$$R_{vd} = \frac{P_{total}}{2} = \dots \text{t} \dots \dots \dots (2.7)$$

- Gaya akibat beban hidup

$$R_{qt} = \frac{P}{2} \dots \dots \dots (2.8)$$

$$R_{sp} = \frac{P}{2,75} \times k \times l = \dots \text{ton} \dots \dots \dots (2.9)$$

$$\text{Koefisien kejut} = 1 + \frac{20}{50+L} = \dots \text{ton} \dots \dots \dots (2.10)$$

- Gaya akibat rem dan traksi
Diperhitungkan 5% dari beban D tanpa koefisien kejut dengan titik tangkap 1,8m diatas permukaan lantai kendaraan (PPPJJR / 1987 hal 15).

- Gaya gempa akibat bangunan atas

$$\text{Traksi } R_{rt} = \frac{5\% \times (R_{PL} + R_{QL})}{2} = \dots \text{ton} \dots \dots \dots (2.11)$$

- Gaya horizontal tanah

$$K_a = t \cdot g^2 \left(45^\circ - \frac{\phi}{2} \right) \dots \dots \dots (2.13)$$

$$K_p = t \cdot g^2 \left(45^\circ + \frac{\phi}{2} \right) \dots \dots \dots (2.14)$$

4. Hitungan daya dukung tanah dasar pondasi

Daya dukung tanah dasar pondasi berdasarkan rumus Tarzhagi untuk pondasi

$$Q_{ult} = C \cdot N_c + D \cdot \gamma_1 \cdot N_q + 0,5 \cdot B \cdot \gamma_2 \cdot N_\gamma \dots \dots \dots (2.18)$$

$$Q_{all} = \frac{Q_{ult}}{SF} \dots \dots \dots (2.19)$$

Perhitungan stabilitas abutment

- Syarat aman terhadap geser

$$SF = \frac{\sum v \cdot \tan \frac{2}{3} \phi + c \cdot B}{\sum H} \dots \dots \dots (2.20)$$

- Syarat aman terhadap guling

$$SF = \frac{\sum M_x}{\sum M_y} \dots \dots \dots (2.21)$$

- Syarat aman terhadap eksentrisitas

$$e = \frac{B}{2} - \frac{\sum M_x - \sum M_y}{\sum v} < \frac{B}{6} \dots \dots \dots (2.22)$$

- Kontrol terhadap tegangan

$$\sigma = \frac{\sum v}{B \cdot L} \left[1 \pm \frac{6 \cdot e}{B} \right] \dots \dots \dots (2.23)$$

$$\sigma_{maks} = Q_{all} \quad (\text{OK})$$

$$\sigma_{min} \leq Q_{all} \quad (\text{OK})$$

5. Penulangan Abutment

- Pelat Injak
Beban Sendiri plat injak (wd) = Luasan x Berat jenis (kN/m)
Beban Tanah timbunan (wd) = Luasan

x Berat jenis (kN/m)
 Berat aspal (wd) =
 Luasan x Berat jenis (kN/m)
 Berat Kendaraan (wl) =
 Luasan x Berat jenis (kN/m)
 Didapat

$$q_u = 1,3 \text{ wd} + 1,8 \text{ wl} = \dots (\text{kN/m}) \dots (2.24)$$

$$M_u = 1/8 \cdot q_u \cdot L^2 \dots (2.25)$$

Mu = momen ultimate (kN.m)
 qu = beban merata ultimate (kN/m)
 L = lebar plat injak (m)

• Penulangan

$$\rho_{\text{min}} = \left(\frac{0,85 \times \beta_1 \times f'_c}{f_y} \right) \times \left(\frac{600}{600 + f_y} \right) \dots (2.26)$$

$$\rho_{\text{max}} = 0,75 \times \rho_{\text{min}} \dots (2.27)$$

$$\rho_{\text{min}} = \frac{1,4}{f_y \times \frac{14}{f_y}} \dots (2.28)$$

$$m = \frac{f_y}{0,85 + f'_c} \dots (2.29)$$

$$M_n = \frac{M_u}{\phi} \dots (2.30)$$

$$R_n = \frac{M_n}{b \cdot d^2} \dots (2.31)$$

$$\rho_{\text{perlu}} = \frac{1}{m} \left\{ 1 - \sqrt{1 - \left(\frac{2 \cdot m \cdot R_n}{f_y} \right)} \right\} \dots (2.32)$$

Jarak tulangan tekan dengan serat terluar

$$d' = h + p + 0,5 \phi \dots (2.33)$$

• Perhitungan Dinding Sayap

$$K_a = (1 - \sin \phi) / (1 + \sin \phi) \dots (2.38)$$

• Akibat tekanan tanah pada dinding sayap

$$T_{a1} = q_u \times K_a \times h \dots (2.39)$$

$$T_{a2} = 0,5 \times \gamma \text{ tanah} \times h^2 \times K_a \dots (2.40)$$

$$T_a = P_{aQ} + P_{aH} \dots (2.41)$$

• Beban gempa statikekivalen

$$T_{BQ} = K_h \times I \times W_t = 0,238875 \times W_t \dots (2.43)$$

• Tekanan tanah dinamis akibat gempa

$$T_{BQ2} = H \times W_s \times \Delta K_{aG} \times B_y \dots (2.44)$$

6. Perhitungan Pondasi Bore pile

Untuk memprediksi besarnya kapasitas dukung selimut maupun kapasitas dukung ujung dapat dilakukan dengan menggunakan metode Reese & Wright (1997) dan metode kulhawy. Kapasitas dukung ultimit pada ujung (Qp) tiang bor disajikan sebagai berikut :

$$Q_p = q_p \cdot A \dots (2.49)$$

Dimana :

Qp = Kapasitas dukung ultimit ujung tiang

qp = Kapasitas dukung ultimit pada ujung tiang per satuan luas (ton/m²)

A = Luas penampang tiang bor (m²)

Perhitungan kapasitas dukung selimut (Qs) tiang bor pada tanah homogen :

$$Q_s = f_s \cdot L_p \cdot P \dots (2.50)$$

Untuk tanah kohesif menggunakan formula :

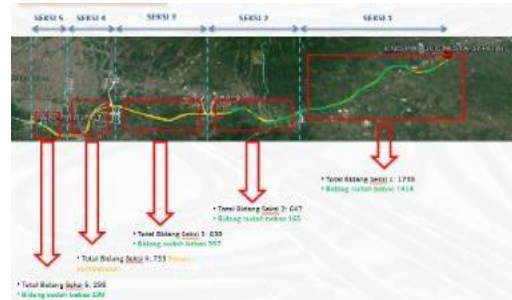
$$f_s = \alpha \cdot c_u \dots (2.51)$$

Jika tiang bor terletak pada tanah berlapis maka formula untuk memperoleh nilai kapasitas dukung ultimit selimut tiang (Qs) dapat dimodifikasi menjadi :

$$Q_s = \sum_{i=1}^n f_i \text{ lip} \dots (2.52)$$

7. Lokasi Proyek

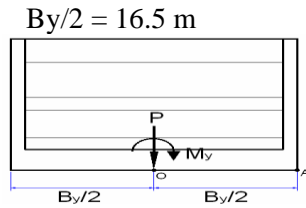
Lokasi proyek jalan tol Pandaan – Malang berada di Kabupaten Pasuruan dan Kabupaten Malang. Jembatan yang di tinjau berada di seksi 2 STA 15 + 916 pada desa Parerejo, Kecamatan Purwodadi – Pasuruan.



Gambar 2. Peta lokasi proyek



Gambar 3. Gambar Abutment

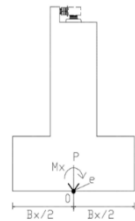


Tabel 3. Stabilitas Guling Arah Y

No	KOMBINASI BEBAN	k	P kN	My kNm	Mpy kNm	SF	Keterangan
1	KOMBINASI-1	0%	62320,925	0,000	1025179,22		
2	KOMBINASI-2	25%	62362,354	1278,760	1282325,91	1002,79	>2,5(OK)
3	KOMBINASI-3	40%	62362,354	1278,760	1436205,02	1123,12	>2,5(OK)
4	KOMBINASI-4	40%	62362,354	1278,760	1436205,02	1123,12	>2,5(OK)
5	KOMBINASI-5	50%	60437,669	110025,430	1491299,49	13,55	>2,5(OK)

4. Kontrol Stabilitas Guling

a. Stabilitas Geser Arah X



Parameter pile cap :

Sudut gesek dalam $\phi = 14^\circ$

Kohesi $c = 0.16 \text{ kPa}$

Ukuran pile cap $Bx = 13,2 \text{ m}$

$By = 32.9 \text{ m}$

$k =$ persen kelebihan beban yang diijinkan (%)

$T_x =$ gaya penyebab geser

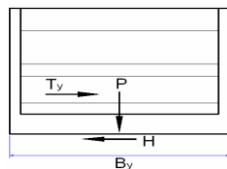
Gaya penahan geser :

$H = (c * B_x * B_y + P * \tan \phi) * (1 + k)$ harus > 1.2

Tabel 4. Stabilitas Geser Arah X

No	KOMBINASI BEBAN	k	T_x	P	H	SF	Keterangan
1	KOMBINASI-1	0%	47693,783	62320,9254	155469,515	3,3	>1,2(OK)
2	KOMBINASI-2	25%	78081,868	62362,3542	194448,605	2,5	>1,2(OK)
3	KOMBINASI-3	40%	47943,78	62362,3542	217774,076	4,5	>1,2(OK)
4	KOMBINASI-4	40%	48013,139	62362,3542	217774,076	4,5	>1,2(OK)
5	KOMBINASI-5	50%	51787,64	60437,6693	226125,466	4,4	>1,2(OK)

b. Stabilitas Geser Arah Y



Parameter tanah dasar pile cap :

Sudut gesek dalam $\phi = 14^\circ$

Kohesi $c = 0.16 \text{ kPa}$

Ukuran pile cap $B_x = 13.24 \text{ m}$

$B_y = 32.9 \text{ m}$

$k =$ persen kelebihan beban yang diijinkan (%)

$T_x =$ gaya penyebab geser

Gaya penahan geser :

$H = (c * B_x * B_y + P * \tan \phi) * (1 + k)$ harus > 1.2

Tabel 5. Stabilitas Geser Arah Y

No	KOMBINASI BEBAN	k	T_y kN	P kN	H kN	SF	Keterangan
1	KOMBINASI-1	0%	0	62320,9254	15609,6632		
2	KOMBINASI-2	25%	102331,29	62362,3542	19507,5721	190,69	>1,2(OK)
3	KOMBINASI-3	40%	102331,29	62362,3542	21840,1192	213,48	>1,2(OK)
4	KOMBINASI-4	40%	102331,29	62362,3542	21840,1192	213,48	>1,2(OK)
5	KOMBINASI-5	50%	15358,285	60437,6693	22675,2582	148	>1,2(OK)

2. Analisis Beban Ultimit

1. Pile Cap

Tabel 6. Rekap Kombinasi Beban Ultimit Pile Cap

No.	KOMBINASI BEBAN	P_u (kN)	T_{ux} (kN)	T_{uy} (kN)	M_{ux} (kNm)	M_{uy} (kNm)
1	KOMBINASI-1	83428,23	57199,34	122,80	137812,17	1534,51
2	KOMBINASI-2	8378,52	59599,0325	0	163408,7667	0
3	KOMBINASI-3	83428,23	59515,81	122,80	162523,23	1534,51
4	KOMBINASI-4	83622,68	57199,34	122,80	137812,17	1534,51
5	KOMBINASI-5	78806,45	78259,67	15358,28	449874,91	110025,43

2. Breast Wall

a. Tekanan Tanah (TA)

$H = 14.92 \text{ m}$ $\phi' = 0,3203 \text{ rad}$

$K_a = 0.530152$ $W_s = 17 \text{ kN/m}^3$

$0.6 \times W_s = 10.2 \text{ kN/m}^3$

$B_y = 32.9$

Tabel 7. Gaya Akibat Tekanan Tanah

No.	Gaya akibat tekanan tanah	T_{TA} (kN)	Lengan thd O	y (m)	M_{TA} (kNm)
1	$T_{TA} = (0.60 * w_s) * H * K_a * B_y$	2654,39	$y = H / 2$	7,46	19801,770
2	$T_{TA} = 1/2 * H^2 * w_s * K_a * B_y$	33002,95	$y = H / 3$	4,97	164134,673
	$T_{TA} =$	35657,34		$M_{TA} =$	183936,443

b. Beban Gempa

$T_{EQ} = K_h \times I \times W_t = 0.3272059 \times W_t$

Tabel 8. Beban Gempa Pada Bagian Breast Wall

No.	Berat W_t (kN)	TEQ kN	Uraian lengan terhadap titik O	Besar y (m)	MEQ (kNm)
STRUKTUR ATAS					
P_{min}	11597,14	3794,6517	$y = H$	14,92	56616,203
P_{max}	1767,83	578,44578	$y = H$	14,92	8630,411
BREAST WALL					
1	221,5618	72,496311	$y_1 = c + h_4 + h_3 + h_2 + h_1 / 2$	14,46	1048,297
2	387,7331	126,86854	$y_2 = c + h_4 + h_3 + h_2 / 2$	13,20	1674,030
3	168,5796	55,160237	$y_3 = c + h_4 + h_3 / 2$	12,04	664,129
4	36,1242	11,820051	$y_4 = c + 2/3 * h_4$	11,59	136,994
5	0	0	$y_5 = d + h_6 + h_5 / 2$	0	0,000
6	0	0	$y_6 = d + 2/3 * h_6$	0,000	0,000
7	-3667,81	-1200,129	$y_7 = h / 2$	-1,525	1830,197
T_{EQ}		3439,3134			$M_{EQ} =$ 70600,262

c. **Beban Ultimit Breast Wall**

Tabel 9. Beban Ultimit Breast Wall

No	KOMBINASI-1 Aksi Beban	Arah Faktor beban	Vertikal			Horizontal		Momen	
			Pu (kN)	Tux (kN)	Tuy (kN)	Mux (kN-m)	Muy (kN-m)		
A	Aksi tetap								
1	Berat sendiri	1,3	11379,33						
2	Beban mati tambahan	2,0	3535,67						
3	Tekanan tanah	1,3		44571,68		228920,55			
B	Beban lalu lintas								
4	Beban lajur "D"	2,0	3572,07						
5	Beban pejalan kaki								
6	gaya rem	2,0		500,00		7450,00			
C	Aksi lingkungan								
7	Temperatur	1,2		83,23		719,09			
8	Beban angin	1,2	49,71		122,80		1288,92		
9	Beban gempa								
10	Tek tanah dinamis								
D	Aksi lainnya								
11	Cekatan								
			18434,77	45154,91	122,80	238092,64	1288,92		

Tabel 10. Rekap Kombinasi Beban Ultimit Breast Wall

No	KOMBINASI BEBAN	Pu (kN)	Tux (kN)	Tuy (kN)	Mux (kN-m)	Muy (kN-m)
1	KOMBINASI-1	18536,77	45154,91	122,80	238099,64	1288,92
2	KOMBINASI-2	18487,058	47560,4012	0	258884,8434	0
3	KOMBINASI-3	18536,77	47477,37	122,80	258163,76	1288,92
4	KOMBINASI-4	18923,67	45154,91	122,80	238099,64	1288,92
5	KOMBINASI-5	14914,99	73770,61	3489,31	553612,43	70600,28

3. **Back Wall**

Tabel 11. Beban Ultimit Back Wall Bawah

No	Aksi Beban	Kode beban	Faktor Beban	Beban Kerja		Beban Ultimit	
				T (kN)	M (kN-m)	Tu (kN-m)	Mu (kN-m)
A	Aksi tetap						
1	Berat sendiri						
2	Beban mati tambahan						
3	Tekanan tanah	TA	1,25	1399,09	1349,69	1748,86	1712,11
B	Beban lalu lintas						
4	Beban lajur "D"						
5	Beban pejalan kaki						
6	gaya rem						
C	Aksi lingkungan						
7	Temperatur						
8	Beban angin						
9	Beban gempa	BQ	1,0	199,4	252,2	199,4	252,2
10	Tek tanah dinamis	BQ	1,0	3999,2	5365,8	3999,2	5365,8
D	Aksi lainnya						
11	Cekatan						
				5597,66	6987,70	5947,43	7330,13

Tabel 12. Beban Ultimit Back Wall Atas

No	Aksi Beban	Kode beban	Faktor Beban	Beban Kerja		Beban Ultimit	
				T (kN)	M (kN-m)	Tu (kN-m)	Mu (kN-m)
A	Aksi tetap						
1	Berat sendiri						
2	Beban mati tambahan						
3	Tekanan tanah	TA	1,25	289,16	113,77	361,45	142,22
B	Beban lalu lintas						
4	Beban lajur "D"						
5	Beban pejalan kaki						
6	gaya rem						
C	Aksi lingkungan						
7	Temperatur						
8	Beban angin						
9	Beban gempa	BQ	1,0	72,5	33,3	72,5	33,3
10	Tek tanah dinamis	BQ	1,0	3733,8	1732,3	3733,8	1732,3
D	Aksi lainnya						
11	Cekatan						
				4095,46	1879,44	4167,78	1907,88

4. **Wing Wall**

Tabel 13. Beban Ultimit Wing Wall

No	Aksi Beban	Faktor beban	Vu (kN)	Muy (kN-m)	Mux (kN-m)
A	Aksi tetap				
1	Berat sendiri				
2	Beban mati tambahan				
3	Tekanan tanah	1,25	10380,19	53545,63	39766,5023
B	Beban lalu lintas				
4	Beban lajur "D"				
5	Beban pejalan kaki				
6	gaya rem				
C	Aksi lingkungan				
7	Temperatur				
8	Beban angin				
9	Beban gempa	1,0	359,09	2678,81	1375,67
10	Tek tanah dinamis	1,0	5999,09	59407,66	22982,53
D	Aksi lainnya				
11	Cekatan				
			16738,37	115632,10	64124,70

3. **Analisis Pondasi Abutment**

Data Material Pondasi

Bahan Material Pondasi :

- Mutu beton K-350
- Kuat tekan beton $f_c = 29.5 \text{ Mpa}$
- Mutu baja tulangan U-39
- Tegangan leleh baja $f_y = 390 \text{ MPa}$
- Modulus elastisitas beton $E_c = 25332.084 \text{ MPa}$
- Berat beton bertulang $w_c = 24.00 \text{ kN/m}^3$

Pondasi End Bearing Dan Friction :

- Berat volume tanah $w_s = 23 \text{ kN/m}^3$
- Sudut gesek dalam $\phi = 44^\circ$
- Kohesi tanah, $c = 10 \text{ kPa}$

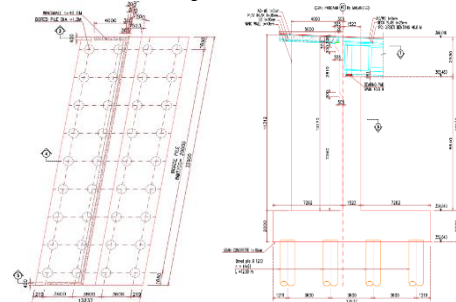
Dimensi Pile Cap :

- Lebar arah x, $B_x = 13.2 \text{ m}$ Tebal, $h_p = 2.00 \text{ m}$
- Lebar arah y, $B_y = 32.9 \text{ m}$ Tebal, $h_t = 2.00 \text{ m}$

Dimensi tiang Bore Pile :

- Diameter luar $D = 0.8 \text{ m}$
- Panjang, $L = 12.0 \text{ m}$

Jarak pusat tiang pancang terluar terhadap sisi luar Pile cap $a = 1.65 \text{ m}$



Gambar 5. Denah Bore Pile & Detail Abutment

Data Susunan Bore Pile :

- Jumlah baris tiang $n_y = 9$
- Jumlah tiang dalam satu baris $n_x = 4$
- Jarak antara tiang dalam arah X $X = 3.6 \text{ m}$
- Jarak antara tiang dalam arah Y $Y = 3.7 \text{ m}$

1. Rekap Daya Dukung Aksial Tiang
Untuk daya dukung aksial tiang diambil berdasarkan kekuatan bahan yaitu 4782.17 kN.

Jumlah baris tiang, $n_y = 19$

Jumlah tiang dalam satu baris, $n_x = 4$ Jarak antara tiang, $X(m) = 3.6$

$$Y(m) = 3.7$$

Jarak antara tiang terkecil, $S = 3.6$

Jarak antar tiang $S_b = 3.7$ m, harus < 6.166 ok!

Diameter Tiang, $D = 1.2$ m

Efisiensi kelompok tiang (menurut BDM)

$$Eff = 0.6643$$

$$P_{ijin} = 10014.53 \text{ kN}$$

Diambil daya dukung aksial ijin tiang :

$$P_{ijin} = 10014.53 \text{ kN}$$

2. Daya Dukung Lateral Ijin Tiang

Kedalaman ujung tiang,

$$L_a = h_p = 2 \text{ m}$$

Sudut gesek, $\phi = 40^\circ$

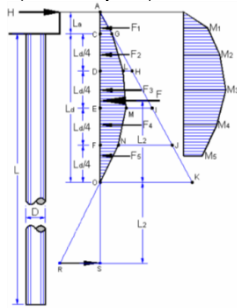
Panjang Tiang $L = 12$ m

Panjang jepitan tiang, $L_d = 4$ m, $B_y = 32.9$,

$W_s = 23 \text{ kN/m}^3$

Koefisien tekanan tanah pasif,

$$K_p = \tan^2(45^\circ + \phi/2) = 5.5537$$



Gambar 6. Diagram Tekanan Tanah Pasif

3. Kontrol Daya Dukung Ijin Tiang

- Daya Dukung Ijin Aksial

Tabel 14. Perhitungan daya dukung aksial terhadap beban arah X

No.	KOMBINASI BEBAN KERJA	Persen Pijin	P _{akt} kN	Kontrol thd Daya dukung ijin	P _{ijin} kN	Keter
1	KOMBINASI-1	100%	2965,293606	$< 100\% \cdot P_{ijin}$	10014,5	Aman
2	KOMBINASI-2	125%	3517,869272	$< 125\% \cdot P_{ijin}$	12518,2	Aman
3	KOMBINASI-3	140%	3005,611072	$< 140\% \cdot P_{ijin}$	14020,3	Aman
4	KOMBINASI-4	140%	3012,443947	$< 140\% \cdot P_{ijin}$	14020,3	Aman
5	KOMBINASI-5	150%	3376,300173	$< 150\% \cdot P_{ijin}$	15021,8	Aman

Tabel 15. Perhitungan daya dukung aksial terhadap beban arah Y

No.	KOMBINASI BEBAN KERJA	Persen Pijin	P _{akt} kN	Kontrol thd Daya dukung ijin	P _{ijin} kN	Keter
1	KOMBINASI-1	100%	1731,136816	$< 100\% \cdot P_{ijin}$	10014,5	Aman
2	KOMBINASI-2	125%	1738,047796	$< 125\% \cdot P_{ijin}$	12518,2	Aman
3	KOMBINASI-3	140%	1738,047796	$< 140\% \cdot P_{ijin}$	14020,3	Aman
4	KOMBINASI-4	140%	1738,047796	$< 140\% \cdot P_{ijin}$	14020,3	Aman
5	KOMBINASI-5	150%	2174,43419	$< 150\% \cdot P_{ijin}$	15021,8	Aman

4. Daya Dukung Ijin Lateral

Dari perhitungan pondasi diatas didapat daya dukung lateral ijin pondasi bore pile

Tabel 16. Daya dukung ijin lateral

No.	KOMBINASI BEBAN KERJA	Persen Pijin	Imak	Kontrol thd Daya dukung ijin	h_{lu}	Keter
1	KOMBINASI-1	100%	1324,827306	$< 100\% \cdot h_{lu}$	4709,65	Aman
2	KOMBINASI-2	125%	2168,940638	$< 125\% \cdot h_{lu}$	5887,06	Aman
3	KOMBINASI-3	140%	1331,77175	$< 140\% \cdot h_{lu}$	6593,51	Aman
4	KOMBINASI-4	140%	1333,698313	$< 140\% \cdot h_{lu}$	6593,51	Aman
5	KOMBINASI-5	150%	1514,808439	$< 150\% \cdot h_{lu}$	7064,47	Aman

- Geser Pons

Kuat geser pons yang disyaratkan, $f_v = 1.497 \text{ Mpa}$

Faktor reduksi, $\phi = 0,6$

$n_x = 3600 \text{ mm}$, $n_y = 3700 \text{ mm}$

$a = 1650 \text{ mm}$

$r = r/x = 1800 \text{ mm}$

$r = y/x = 1850 \text{ mm}$

maka diambil, $r = 1000 \text{ mm}$, $h_p = 2000 \text{ mm}$, $h_t = 2000 \text{ mm}$, $L_t = 7262 \text{ mm}$

Tebal bidang kritis geser pons

$h = 2000 \text{ mm}$

Panjang total bidang kritis

$L_v = 68771.43$

tebal efektif bidang kritis geser pons $d = 1900 \text{ mm}$

Luas bidang geser

$$A_v = 13742857.14 \text{ mm}^2$$

Gaya geser pons nominal

$$P_n = 20573015.8 \text{ N}$$

$$\phi P_n = 12343.8 \text{ kN}$$

Beban ultimit satu tiang

$$P_u = 6564.5 \text{ N} < \phi P_n \text{ Aman (OK)}$$

KESIMPULAN DAN SARAN

1. Kesimpulan

1. Analisis perhitungan stabilitas abutment terhadap pengaruh Gempa Sesuai dengan SNI 2833- 2016:

- Analisis geser pons dengan gaya geser pons nominal, ϕP_n adalah 12343.8 kN, dan pada analisis nilai beban ultimit satu *borepile*, P_u adalah 6564.5, sehingga geser pons

- menyisakan ratio persentase kekuatan sebesar 46.82 %.
- Analisis stabilitas guling arah x dengan nilai *safety factor* adalah 2.5, dan pada analisis nilai *safety factor* maksimum adalah 2.7 yakni pada kombinasi I, sehingga stabilitas guling arah x menyisakan ratio persentase kekuatan sebesar 7.41 %.
2. Analisis kekuatan borepile dengan daya dukung aksial *borepile*, Pijin adalah 10015 kN, dan pada analisis nilai gaya aksial maksimum yang diderita satu *borepile*, Pmaks adalah 6564.5 kN yakni pada kombinasi V, sehingga kekuatan *borepile* menyisakan ratio persentase kekuatan sebesar 34.45 %.
- Berdasarkan studi yang telah dilakukan pada stabilitas abutment jembatan pada Jalan Tol Pandaan – Malang Sta 15 + 916 terhadap pengaruh Gempa Sesuai dengan SNI 2833-2016 ini menyatakan bahwa stabilitas abutment jembatan dalam kondisi aman.

2. Saran

1. Penggunaan program bantu perangkat lunak diperlukan dalam analisis komponen jembatan yang lebih detil bagian gelagar jembatan serta abutment.
2. Untuk penelitian selanjutnya agar dapat diteliti mengenai kondisi – kondisi tanah pada abutment jembatan sesuai SNI 2833-2013 atau keadaan tanah pada saat menerima beban gempa terhadap struktur jembatan.

DAFTAR PUSTAKA

- Badan Standarisasi Nasional. 2016. *Perencanaan untuk Jembatan*. SNI 1725-2016 Jakarta.
- Badan Standarisasi Nasional. 2013. *Perencanaan Jembatan Terhadap Beban Gempa*. RSNI T-2833-2013. Jakarta.
- Badan Standarisasi Nasional. 2016. *Perencanaan Jembatan Terhadap Beban Gempa*. SNI 2833-2016. Jakarta.

Badan Standarisasi Nasional. 2008. *Standar Perencanaan Ketahanan Gempa Untuk Jembatan*. SNI 2833-2008. Jakarta.

Badan Standarisasi Nasional. 2017. SNI 8460-2017. *Persyaratan Perancangan Geoteknik*. SNI 8460-2017. Jakarta.

Brige Management System. 1992. *Peraturan Perencanaan Teknik Jembatan*. BMS 1992. Departemen PU Bina Marga.

Iqbal, M, S. 1995. *Dasa-Dasar Jembatan Beton Bertulang*. Departemen Pekerjaan Umum. Jakarta.